

547.912 : 543.5

K 19 4

1996-2973

TÜRKİYE BİLİMSEL ve TEKNİK ARAŞTIRMA KURUMU  
Matematik, Fiziki ve Biyolojik Bilimler  
Araştırma Grubu  
Proje No : TBAG - 458

KATRAN YUMRULARININ GAZ KROMATOGRAFİSİ / KÜTLE SPEKTROMETRESİ  
YÖNTEMİ İLE TANIMLANMASI

Proje Yöneticisi : Prof. Dr. Turgut İ. Balkaş  
Yardımcı Araştırmacı : Dr. Alexander F. Gaines  
Yardımcı Araştırmacı : Dr. Taner Tuğrul  
Yardımcı Araştırmacı : Y. Kimyager Mete Sunay

Orta Doğu Teknik Üniversitesi  
Deniz Bilimleri Bölümü

547.812 : 543.5  
K18g

TÜRKİYE BİLİMSEL VE TEKNİK ARAŞTIRMA KURUMU  
Matematik, Fiziki ve Biyolojik Bilimler Araştırma Grubu  
Proje No: TBAG - 458

KATRAN YUMRULARININ GAZ KROMATOGRAFİSİ/  
KOTLE SPEKTROMETRESİ YÖNTEMİ İLE  
TANIMLANMASI

Proje Yöneticisi : Prof.Dr. Turgut İ.Balkaş  
Yardımcı Araştırmacı : Dr. Alexander F.Gaines  
Yardımcı Araştırmacı : Dr. Taner Tuğrul  
Yardımcı Araştırmacı : Y.Kimyager Mete Sunay

Orta Doğu Teknik Üniversitesi  
Deniz Bilimleri Bölümü

ERDEMİR, 1981

13908

TÜRKİYE  
BİLİMSEL VE TEKNİK

## İÇİNDEKİLER

	<u>Sayfa</u>
Çizelgeler ve Şekiller Listesi	i
Ünsöz	ii
Özet	iii
Abstract	iv
<b>I. GİRİŞ</b>	<b>1</b>
1. Petrol Hidrokarbonlarının Yapısı	1
2. Denizde Petrol Kirleticilerinin Kaynakları	2
3. Ham Petrolün Denizdeki Değişimi	2
4. Parmak İzi Yöntemi	4
5. Literatür Özeti	5
6. Ön Çalışmalar	6
<b>II. MATERİYAL VE METOD</b>	
1. Örnekler	15
2. Cözücüler	15
3. Kolon Dolgu Maddeleri	15
4. Deneysel Yöntem	16
5. Cihazlar	16
<b>III. BULGULAR VE TARTIŞILMASI</b>	<b>18</b>
Kütle Spektrometresi Ölçümleri	25
Sonuçlar	30
<b>IV. KAYNAKLAR</b>	<b>34</b>

## ŞEKİLLER VE ÇİZELGELER LİSTESİ

### ŞEKİLLER:

### Sayfa

1. Kuzeydoğu Akdeniz'de Suda Çözünmüş Petrol Hidrokarbonların Dağılımı (ppb)	7
2. Ham Petrollerin TIC (Toplam İyon Akımı) Kromatogramları	19
3. Ham Petrol Tiplerinin m/e 141 İyon Fragmentogramları	20
4a. Katran Yumrularının TIC (Toplam İyon Akımı) Kromatogramları	22
4b. Katran Yumrularının TIC Kromatogramları	23
5. Katran Yumrularının m/e 141 İyon Fragmentogramları	26
6a. Ham Petrollerin m/e 191 İyon Fragmentogramları	27
6b. Katran Yumrularının m/e 191 İyon Fragmentogramları	28

### ÇİZELGELER:

1. Petrol Hidrokarbonlarının Yapısı	2
2. Petrol Kirleticilerinin Kaynak ve Miktarları	3
3a. IR Spektrofotometresi Ölçümleri	11
3b. H-nmr Spektrometresi Ölçümleri	12
3c. Floresans Spektrofotometresi Ölçümleri	13
4. Gaz Kromatografi Ölçümleri	14
5. Göz Kromatografi/Kütle Spektrometresi Ölçümleri	29

## ÖNSÖZ

Bu çalışma, Türkiye Bilimsel ve Teknik Araştırma Kurumu tarafından desteklenmiş ve Orta Doğu Teknik Üniversitesi Deniz Bilimleri Bölümünde yapılmıştır.

Deniz ortamındaki petrol kirleticilerinin en önemlilerinden olan katran yumrularının kaynaklarını saptamaya yönelik bu çalışma, Şubat 1980'de başlatıldı ve Ekim 1981'de bitirildi.

Çalışmada, yardımcı araştırmacılar olarak, Dr. A.F. Gaines, Dr. Taner Tuğrul ve Kimyager Mete Sunay çalıştılar.

Projeyi destekleyen Türkiye Bilimsel ve Teknik Araştırma Kurumuna teşekkürlerimizi sunarız.

Deneysel sırasında yardımcı olan Sayın Dr. Jane Matthews'e teşekkür ederiz.

## OZET

Kuzeydoğu Akdeniz'de, deniz yüzeyi ve kıyılardan toplanan katran yumrularının kaynakları olan ham petrolleri saptamak amacıyla, Gaz Kromatografisi/Kütle Spektrometresi yöntemi uygulandı. Karakteristik hidrokarbon bileşenlerini tanımlamaya yönelik bulguların, ham petrol ve katran yumruları için karşılaştırmaları yapılarak, katran kirleticilerinin kaynakları araştırıldı. Ek olarak, bu çalışmada elde edilen bulgular önceki çalışmalarımızda elde ettiğimiz ve Gaz Kromatografisi, Infra Red, H-nmr, Floresans Spektrofotometresi bulguları ile karşılaştırıldı ve desteklendi.

Çalışmada, Ortadoğu, Kuzey Afrika ve Güney Amerika kökenli başlıca beş tip ham petrol ile, Kuzeydoğu Akdeniz'in çeşitli bölgelerinden toplanan katran yumrularının analiz ve tanımlamaları gerçekleştirildi.

## ABSTRACT

In order to identify the sources of tar balls collected from the beaches and the surface of the sea at North East Mediterranean; Gas Chromatography/Mass Spectrometry technique was applied.

The investigation of original crude oils, as the sources of tar balls, was carried out by identifying the characteristic hydrocarbon components and comparing them for crude oils and tar balls. In addition, the results of this study were compared with those of previous works obtained by Gas Chromatography, IR, H-nmr and Fluorescence Spectrophotometry techniques, to check the applicability and the reliability of GC/MS technique.

In this work, five main types of crude oils from Middle East, North Africa and South America, as well as nine types of tar balls collected from various sites of North East Mediterranean were analysed and identified.

## I. GİRİŞ:

Ceşitli yollarla denize ulaşan petrol kirleticilerinin, "parmak izi" olarak bilinen yöntemlerle tanımlanması şeklindeki çalışmalar, son on yıl içinde önemini arttırmıştır. Bu gelişmeye denizleri kirleten ham veya rafine petrol artıklarının giderek artması ve bu kirleticilerin kıyılarda ve deniz yaşamında doğurduğu zararlı etkilerin de bu artışa paralel olarak korkutucu seviyelere ulaşması neden olmuştur.

Cevre sağlığının korunması ve kirleticilerin kontrolü amacına yönelik önlemlerin hazırlanabilmesi ve yürüttülmesi için, öncelikle kirleticilerin kaynaklarını saptayıcı analiz yöntemlerinin geliştirilmesine gerekşim duyulmuştur.

### 1. Petrol Hidrokarbonlarının Yapısı:

Petrol, doğal ürünler içinde en kompleks yapılardan birine sahiptir. Hidrokarbon bileşenleri, çok geniş bir 'molekül ağırlığı' dağılımı gösterirler. Bu dağılım, en küçük bileşen olan Metan (16) ile 20.000'in üstüne kadar çıkabilecek molekül ağırlığına sahip bileşenler arası kapsar (ERHARDT and BLUMER, 1972). Yapıları bakımından, petrol hidrokarbonlarının cinsi ve birbirlerine göre bulunma yüzdeleri Çizelge 1'de özetlenmiştir. Ham petrol'de olefinik hidrokarbonların dışında hemen bütün doymuş hidrokarbonlara rastlanır, olefinikler ise petrolün rafine ürünlerinde ortaya çıkar.

## 2. Denizde Petrol kirleticilerinin kaynakları:

Petrol kirleticilerinin denizlerdeki birikimi, 1975 yılı verilerine göre yıllık 3 milyon tona kadar ulaşmıştır (Petroleum Industry and the Environment, 1977). Petrole olan talebin giderek arttığı düşünüllürse, bu rakamın 1980'lerde iki katına kadar yükseldiğini söylemek hayalcilık olmayacağıdır. Petrol kirleticilerinin başlıca kaynak ve miktarları Çizelge 2'de özetlenmiştir.

Cizelge 1. Petrol Hidrokarbonlarının Yapısı.

<u>Bileşenin Cinsi</u>	<u>% Bulunuşu</u>
Normal Parafinler	30 - 75
Dallı ve Siklo- Parafinler	10 - 50
Aromatikler	5 - 30
Hetero Bileşikler (S, N, O içeren)	1 - 8
Eser metaller (V, Ni, Pb, Fe)	10 - 50 ppm

## 3. Ham Petrolün denizdeki değişimi:

Denize ulaşan ham petrolün yapısı, başlıca dört temel değişimle uğrar;

- (i) Buharlaşma,
- (ii) Suda çözünme,
- (iii) Bakteriyel oksitlenme,
- (iv) Fokokimyasal oksitlenme.

Bu değişimleri doğuran fiziksel faktörler güneş ışınları, dalga hareketleri, rüzgar ve ortamındaki bakteri konsantrasyonlarıdır (ERHARDT and BLUMER, 1972). Rüzgar ve dalga hareketleri petrolün deniz yüzeyinde oturtduğu ve kalınlığı 0.05 ~ 0.5 mm. arasında değişen ince tabakanın geniş bir alana yayılıp, buharlaşma ve çözülmesini hızlandırır, güneş ışınları ve bakteriler oksitlenme yoluyla parçalanmalarını sağlarlar. Normal parafinlerden aromatiklere doğru, suda çözünme yüzdesi artar, oksitlenme yeteneği azalır.

Çizelge 2. Petrol Kirleticilerinin Kaynak ve Miktarları  
( $10^6$  ton) \*

<u>Kirleticinin Kaynağı</u>	<u>Ton (<math>\times 10^6</math>)</u>
Deniz Taşımacılığı (Tankerler, sintine, denge suları deşarjı, kazalar)	2.13
Rafineriler, şehir ve sanayi atıkları	0.8
Açık deniz petrol sondajları	0.08
Nehirlerin taşıdığı	1.9
Atmosferik yollarla	0.6
Doğal hidrokarbonlar	0.6
<hr/>	
TOPLAM	6.11

(\*) : Petroleum Industry and the Environment,  
Vol. 1, p.96 (1977).

Genellikle, buharlaşma ve çözünme; 1 - 10 günde, bileşenlerin yaklaşık % 30'unu, oksitlenme de 50 - 500 günde % 35'ini parçalayarak ortamdan kaybolmasını sağlarlar (SHEKEL and DAVID, 1977). Sonuçta, dış fiziksel etkenlere dayanıklı, büyük molekül ağırlıklı bileşenler bir araya gelerek katran yumrularını oluştururlar. Katran analizlerinde, gözlenen ilk normal parafin katranın denizde geçirdiği süre hakkında ilk bilgiyi verir (SHEKEL and DAVID, 1977). n-C<sub>14</sub>'e kadar olan bileşenlerin kaybolması için 2 - 3 hafta, n-C<sub>16</sub>'ya kadar olan hidrokarbonların kaybolması için de en az iki ay gereğini gözlemiştir (yaz aylarında).

#### 4. Parmak İzi Yöntemi:

Petrol kirleticilerinin kontrolü ve önlenmesi, öncelikle analiz yöntemlerinin geliştirilmesini gerektirir. Genellikle, "parmak izi" yöntemleri diye adlandırılan ve karakteristik hidrokarbon bileşenlerini tanımlamaya yönelik bütin tekniklerin temel prensibi; jeolojik oluşumları neddenyle hiçbir ham petrol tipinin bir diğeriyile tamamen benzer olamayacağı geçereğidir. Parmak izi yöntemlerinin uygulanabilmesi için, öncelikle iki şart sağlanmalıdır:

- (i) Değişik kökenli petroller için, yapısal farklılıklarını gösteren karakteristik bileşenler bulunmalı,
- (ii) Bu bileşenler denizdeki değişimden etkilenmemiş olmalıdır.

Bu çalışmada, yukarıdaki prensipler çerçevesinde, tek başına bir analiz yöntemi kullanmak yerine, temel yöntem olarak kullandığımız Gaz Kromatografisi/Kütle Spektrometresi teknığını geliştirmenin yanında, diğer analiz yöntemleriyle karşılaştırma ve destekleme yolunu seçtik.

Bu uygulama için de aşağıdaki hususlara önem verildi:

- (i) Ham petrol ve katran yumruları arasındaki yapısal ilişkileri, petrolün jeokimyasal yapısı ve denizde geçirdiği değişim gözönünde tutarak araştırmak,
- (ii) Bilimsel olduğu kadar pratik bir yöntem seçerek, bu yöntemin kolaylık, esneklik ve hızlılık bakımından uygulanabilirliğini saptamak,
- (iii) Seçilen yöntemi olabildiğince fazla sayıda örneği uygulayarak, nümerik bulguların doğruluğunu artırmak,
- (iv) Sistemin performansını, destekleyici yöntemlerle artırmak.

#### 5. Literatür Özeti:

Son on yıl içinde petrol kirleticilerinin kaynaklarını saptamaya yönelik araştırmalar önceleri analitik yöntemlerin tek tek uygulanmasıyla başlamış, giderek birden fazla yöntemin bir arada uygulanması şeklindeki 'parmak izi' tanımlanmalarına dönüştürülmüştür. Bu çalışma için, her iki çeşit çalışma ve araştırmalar incelenmiştir. Bu araştırmalardan en önemlileri söyle özetlenebilir;

ANDERSON (1930), KAWAHARA (1969, 1972) ve JELTES (1969, 1972) petrol kirleticilerinin tanımlanması ve dağılımlarının tesbiti için IR Spektrofotometresi,

ZAFIROUO (1973), ERHARDT (1972), GARZA (1974), ve ADLARD (1972) Gaz Kromatografisi,

GORDON ve KEIZER (1974) Floresans Spektrofotometresi yöntemlerini uygulamışlardır,

SHEKEL ve DAVID (1977) Gaz Kromatografisi ile Atomik Absorbsiyon tekniklerini beraber uygulamışlardır,

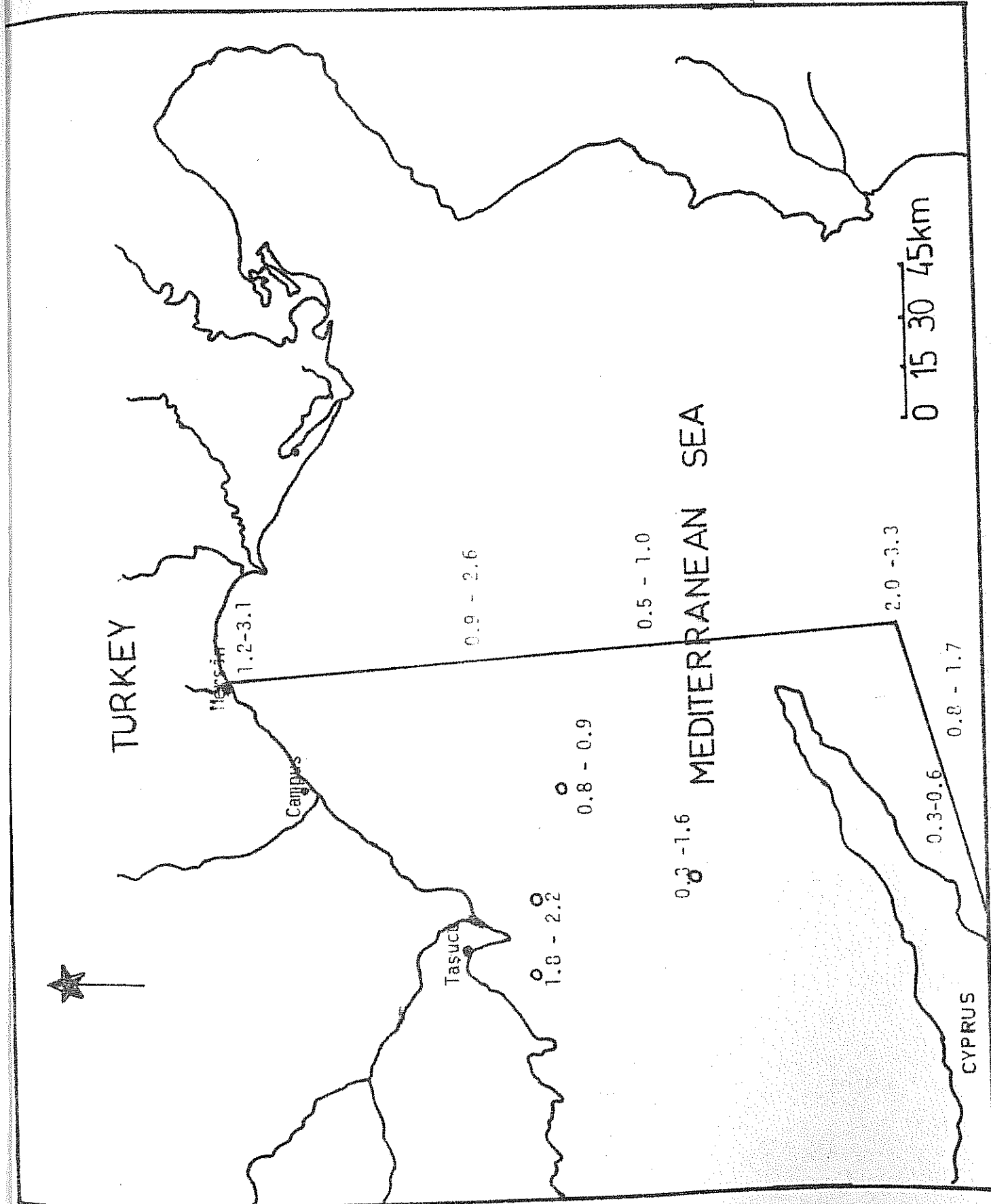
ALBAIGES (1979) ve ROBINSON (1969) ise Gaz Kromatografisi/Kütle Spektrometresi yöntemine ağırlık vermişlerdir,

FRANK (1979) ve arkadaşları ise, Gaz Kromatografisi, IR ve Floresans Spektrofotometresi uygulamalarının bir özeti çıkarmışlardır.

Biz bu çalışma için sözü geçen bütün teknikleri uygulamakla birlikte, temel olarak Gaz Kro./Kütle Spek. yöntemine ağırlık verdik.

#### 6. Ön Çalışmalar:

Türkiye'nin Kuzeydoğu Akdeniz kıyılarındaki petrol hidrokarbonları kirlenmesi hernekadar Batı Akdeniz'de görüldüğü kadar trajik değilse de, bazı bölgelerde önemli sayılabilecek boyutlara ulaşabilmektedir. Bölge özet olarak bir Petrol boru hattı çıkıştı, bir rafineri ve çok işlek iki limana sahiptir, buna ek olarak yöredeki endüstriyel yatırımlar da gidecek artmaktadır. Bu tesisler doğal olarak kirlenmenin başlıca kaynaklarını oluşturmaktadırlar. Deniz yaşamını doğrudan etkileyebilecek ve petrolün en zehirli bileşenlerini içeren, suda çözünen çok çekirdekli aromatik hidrokarbonların (PAH), Mersin-Mağosa-Taşucu arasındaki bölgede iki yıl süreli izlenmelerinin sonuçları Şekil 1'deki harita ile özetlenmiştir. Floresans Spektrometresi yöntemi ile elde edilen bu sonuçlar yörede kirlenmeye en az iki tip kaynağın neden olduğunu göstermektedir. Değerler 0.5 ile 3.0 ppb arasında değişmekte olup ortalama 1.0 ppb dolayındadır. Bu değerler, Akdeniz'in diğer kesimlerine oranla düşükk sayılabilecek değerlerdir.

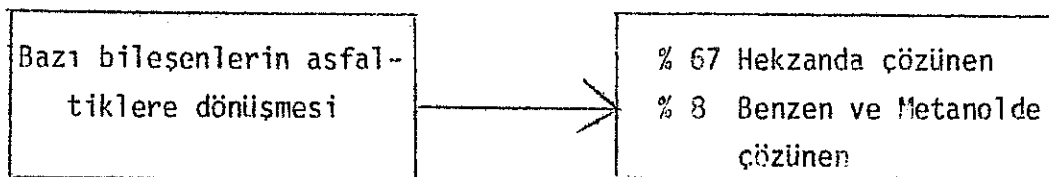
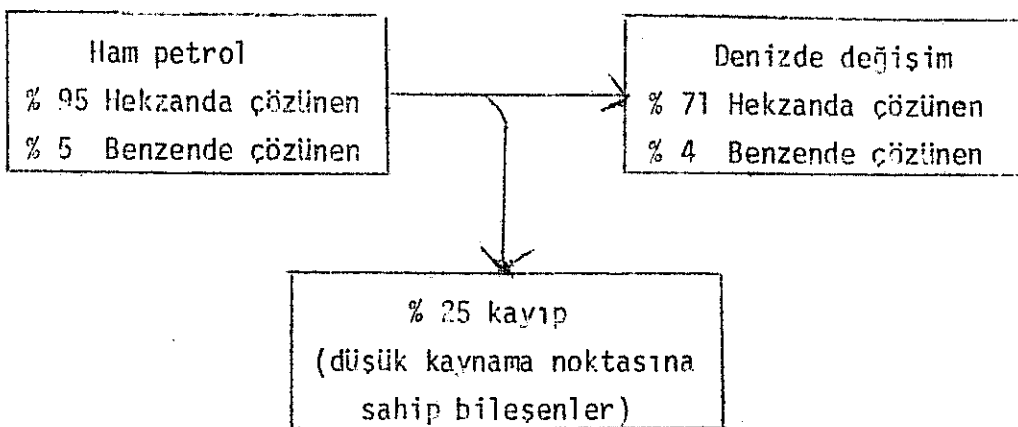


Şekil 1. Kuzeydoğu Akdeniz'de, suyu şozünlüğü Petrol Hidrokarbonlarının dağılımı (ppb).

Araştırmalar bu değerlerin ortalama olarak Malta civarında 15 ppb, Libya sahillerinde 25 ppb, Girit civarında 20 ppb ve Adriyatik'te 5 ppb olduğunu göstermiştir (ZSOLNAY, 1979).

Floresans yönteminde, gerek deniz yüzeyinden bir metre derinlikte, gerek çeşitli derinliklerden alınan deniz suyu örnekleri  $CCl_4$  ile ekstrakt edilmiş, çözücü buharlaştırılarak kalan tortu hekzanda tekrar çözülmerek, Floresans Spektrofotometresi cihazı ile, 310 nm eksitasyon ve 360 nm emisyon dalga boylarında ve "Chrysene" hidrokarbonu standard materyal olarak kullanılarak analiz edilmişlerdir. Gerek bizim ve gerek ZSOLNAY (1979)'ın bulguları IOC (Intergovernmental Oceanographic Commission) tarafından belirlenen prensipler uygulanarak elde edilmiş ve bu şekilde Akdeniz'in çeşitli kesimlerindeki kirletici dağılımı hakkında bir karşılaştırma yapabilme olanağı elde edilmiştir.

Denize dökülen ham petrolün içeriği kaynama noktası düşük bileşenler buharlaşma ve çözünme yoluyla ayrıldıktan sonra (ERHARDT, 1972), yine hekzanda çözünebilen bir fraksiyonu da, bir çeşit oksitlenme-polymerleşme evresinden geçerek, kaynama noktası yüksek asfaltik denilen bileşenleri oluşturur. Bu oluşum şematik olarak aşağıda gösterilmiştir (BALKAŞ, 1980).:



Böyle bir oluşum petrol artığının yumuşama (softening) sıcaklığını yükseltir ve bu sıcaklık çevrenin sıcaklığını aşındır zaman katran oluşumu başlar. Birçok araştırmalara karşın, katran yumrularının oluşum mekanizması halâ tam olarak bilinmemektedir. Genellikle deniz yüzeyinde veya kıyılarda birikmiş olarak görülen katran yumrularının önemi son zamanlarda deniz tabanında da bulunmaları nedeniyle daha da artmıştır. Çeşitli nedenlerle dibe çöken bu kirleticilerin, balıkların yumurtlama alanlarına yakınlığı sorunlar yaratabilir. Yüzeyde dolaşan yumrular gibi, dibe çökenlerin de incelenmesi, bunların kaynaklarının saptanmasına yarayabileceği gibi, katranın oluşum mekanizması ve çökme nedenlerini de araştırmaya yardımcı olabilir (BALKAŞ, 1981).

Önceki çalışmalarımızda, katran yumrularının IR, H-nmr, UV/VIS Floresans ve Atomik Absorbsiyon Spektrofotometresi ile ve Gaz Kromatografisi yöntemleriyle analizleri yapılmıştı. IR spektrumlarında fonksiyonel frekanslardan  $1600$ ,  $1450$ ,  $1375$ ,  $810$  ve  $720\text{ cm}^{-1}$  bölgelerindeki absorblanmanın,  $\log I/I_0$  değerleri ve bu değerlerin birbirine olan oranların her örnek için gösterdiği sonuçlar karşılaştırıldı. UV/VIS yönteminde aynı tip oranlar için  $225/255\text{ nm}$  değerleri kullanıldı. Gaz Kromatografisi ölçümlerinde, bu çalışmada da devam ettirdiğimiz karakteristik isoprenoid hidrokarbonlar olan Pristane/phytane oranı, Atomik Absorbsiyon Spektrometresi ile V/Ni oranı ve H-nmr Spektrofotometresi ile de Alifatik/Aromatik hidrojen oranları ölçülerek karşılaştırıldı. Bunlara daha önce sözü edilen Floresans Spektrofotometresi bulguları da eklenerek, katran-petrol ilişkilerindeki ön çalışmalar tamamlanmış oldu.

Çizelge 3'de, IR, H-nmr ve Floresans Spektrometresi bulguları özetlenmiştir. Gaz Kromatografisi bulguları ise tartışma kısmında geniş olarak ele alınacaktır. Bu çalışmalarında, katranın hekzanda çözünen ve yüksek kaynama noktasına sahip fraksiyonu, denizdeki değişiminden en az etkilenen ve toplam bileşenlerin ortalama % 30'ini içерdiği için kaynak sapması için en uygun fraksiyon olarak belirlendi.

UV/VIS ve IR spektrumları, ham ve rafine petrol ürünü artıklarının ayrılmalarında, özellikle IR spektrumlarındaki  $1600\text{ cm}^{-1}$  frekansındaki absorblanmanın durumuna göre aromatik bileşenlerin gözlenmesi nedeniyle en uygun yöntemler olarak belirlendiler. Ancak, yukarıda belirtilen yöntemlerden hiçbir tek başına bir katran yumrusunun kaynağını saptayabilmek için yeterli bulunamamıştır. Bazı durumlarda, Gaz Kromatografisi, H-nmr ve Floresans spektrumlarının birlikte kullanılması olumlu sonuçlar verebilmiştir.

Çizelge 3 a. IR Spektrofotometresi Ölçümleri ( $\text{cm}^{-1}$ ).

Örnek	1600/1450	1450/1375	810/1375	810/720
S4	0.16	2.74	0.22	0.62
S9	0.16	1.68	0.24	0.65
S13	0.44	2.17	0.17	0.46
CYP	0.10	2.22	0.14	0.62
Malta	0.16	2.29	--	--
CABT	0.21	2.00	0.07	0.50
TCOH	0.81	1.33	0.42	--
ICOH	0.83	1.50	0.19	--
KCOH	0.61	1.31	0.28	1.25
IRAQ (Kirkuk)	0.54	2.17	--	--
SEYT	0.79	2.05	0.20	--

- S4 : Katran , Tarsus  
S9 : " , Girne  
S13 : " , Seyhan  
CYP : " , Kıbrıs - Girne  
Malta : " , Malta, Anchor bay  
CABT : " , Kampus plajı  
TCOH : Türk Ham Petrolü  
ICOH : İran Ham PetroTÜ  
KCOH : Kuveyt Ham Petrolü  
IRAQ : Irak Ham Petrolü (Kerkük)  
SEYT : Katran, Seyhan

Çizelge 3 b. H-nmr Spektrofotometresi Ölçümleri.

Örnek	<u>CH<sub>2</sub>/CH<sub>3</sub></u>	<u>CH<sub>2</sub>/Aromatik</u>	<u>CH<sub>3</sub>/Aromatik</u>
S4	8.50	17	0.50
S5	6.34	34	0.50
S6	3.16	34	0.23
S9	5.50	41	0.75
S13	4.36	32	--
FLOAT	3.09	15	4.89
CABT	5.07	19	5.00
CYP	4.67	20	3.33
Malta	1.96	45	3.40
TCOH	2.00	18	0.30
ICOH	2.20	6	0.40
Iraq	3.50	34	0.60

S5 : Katran, Ataş

S6 : " , Tırtar

FLOAT : Kampus açığı, yüzey

Çizelge 3 c. Floresans Spektrofotometresi Ölçümleri.

Örnek	Emisyon dalga boyu (nm)	Ekzitasyon dalga boyu (nm)
S5	340	285
S6	365	310
S13	360	300
CABT	405	368
Malta	410	370
FLOAT	415	364
CYP	408	366
TCOH	405	382
ICOH	340	305
KCOH	410	366

Cizelge 4. Gaz Kromatografi Ölçümİleri.

<u>Örnek</u>	<u>Pristane/Phytane</u>	<u>N-Parafin aralığı</u>
S4	1.59	$C_{12} - C_{31}$
S5	1.50	$C_{14} - C_{32}$
S6	ayırım çözlenemedi	$C_{18} - C_{23}$
S9	0.70	$C_{16} - C_{26}$
S13	1.45	$C_{14} - C_{32}$
FLOAT	1.17	$C_{13} - C_{25}$
CABT	0.76	$C_{14} - C_{29}$
CYP	ayırım çözlenemedi	$C_{15} - C_{25}$
Malta	1.37	$C_{14} - C_{26}$
TCOH	1.94	$C_{10} - C_{28}$
ICOH	1.15	$C_{11} - C_{28}$
KCOH	0.84	$C_{11} - C_{27}$
Iraq	1.17	$C_{10} - C_{28}$
SEYT	1.83	$C_{14} - C_{28}$

## II. MATERİYAL VE METOD:

### 1. Örnekler:

Bu çalışmada analizleri yapılan Türk ham petrolü, Mersin Ataş Rafinerisinden; İran ve Kuveyt ham petrolleri, British Petrol (BP, İngiltere)'den; Peru ve Venezuela ham petrolleri, Warren Spirngs Lab. Inc. (İngiltere)'den temin edilmişlerdir.

Katran yumrularının örneklerine yerleri ise, Erdemli Deniz Bilimleri Kampüsü plajı ve açıkları, İskenderun Körfezi, Seyhan Deltası, Mersin Limanı açıkları, Kıbrıs (Girne kıyıları) ve Malta (Anchor Bay)'dır.

Kıyı ve plajlardan toplanan örnekler için herhangi bir özel yöntem gerekmemiş, deniz yüzeyi ile deniz tabanından toplanan örnekler ise Tröll ağlarından elde edilmiştir. Bütün örnekler 5°C'de muhafaza edilmişlerdir.

### 2. Çözücüler:

Analizler için, MERCK patentli, AR dereceli, damıtılmış Hekzan ve Benzen ile, maksimum % 0.001 Aseton içeren Metanol kullanılmıştır.

### 3. Kolan Dolgu Maddeleri:

Petrol ve katran ekstraktlarının lipid ve yağlardan temizlenip, daha iyi ayrıştırılması için uygulanan kolon kromatografisi yönteminde kolon dolgu maddeleri olarak, 108°C'de 8 saat bırakılarak aktiflenen Silika Jel (MERCK, Type 60) ve 120°C'de bir gün bırakılarak aktiflenen, BDH patentli Alumina kullanılmıştır.

4. Deneysel Yöntem:

Yaklaşık 1.0 g ham petrol veya katran örneği, Sokslet aparatında sırasıyla Hekzan, Benzen ve Metanol ile ekstrakt edildi. En yüksek çözünürlük verimi gösteren (% 80 - 90) Hekzan fazı, Silika Jel - Alumina (10:1) kolonunda tekrar Hekzan, Benzen ve Metanol ile daha ileri bir ayırtırmaya tabi tutuldu. Konsantr edilen Hekzan fazı Gaz Kro./Kütle Spek., Gaz Kromatografi ve Floresans Spektrometresi, Benzen ve Metanol fazları da IR, H-nmr ve Floresans Spektrofotometresi yöntemleri ile analiz edildi.

5. Cihazlar:

Gaz Kromatografi ölçümleri PACKARD BECKER Model 421 cihazı ile elde edildi. İki metre uzunluğundaki cam kolonlar, % 3'lük SE-30'un, Chromosorb W (80 - 100 mesh) üzerine kaplanmasıyla elde edilen dolgu maddesi ile doldurulup, sıcaklık programlaması olarak  $100^{\circ}\text{C}$ 'den  $260^{\circ}\text{C}$ 'ye  $4^{\circ}\text{C}/\text{dakika}$  olarak uygulandı. FID (Alevle ionlaştıracı) detektörü için gerekli alev Hidrojen ve Kuru hava karışımından sağlanır, taşıyıcı gaz olarak Azot kullanıldı.

Kütle Spektrometresinin bağlı olduğu Gaz Kromatografi cihazı PYE UNICAM 304 Modeli olup, kolon dolgu maddesi ve sıcaklık programlamaları olarak yukarıda verilen şartlar uygulandı. 25 m.'lik cam, kılcal kolonlarda ayırtırılan hidrokarbon bileşenleri, VG MICROMASS 12/12, komputerize Kütle Spektrometresi cihazı ile tanımlanır.

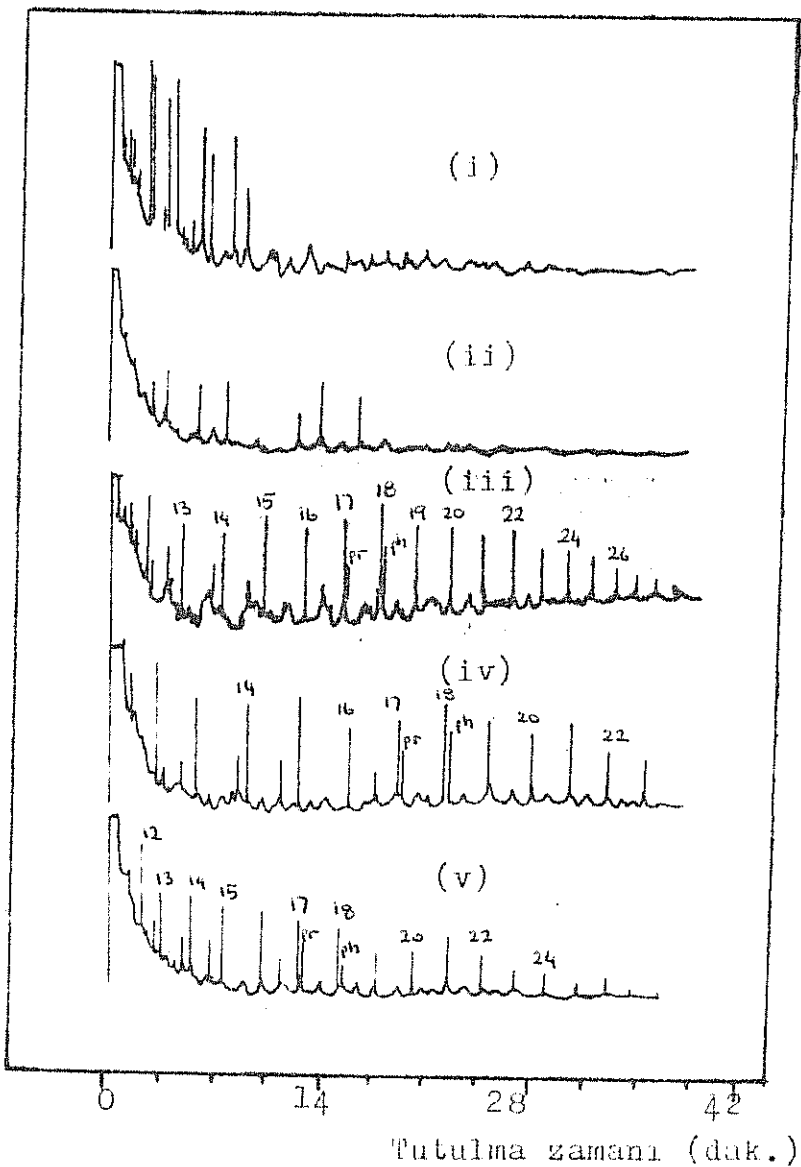
İyonlaştırma enerjisi 70 eV olup, bu işlem  $10^6$  mm Hg basıncında gerçekleştirildi. Bilgisayar taramaları her 5 saniyede bir olarak programlandı.

IR, H-nmr ve Floresans Spetrofotometresi analizleri ve bulguları önceki çalışmalarımıza ait olduğu için cihazlarla ilgili ayrıntının verilmesine gerek görülmemiştir. Bu ayrıntılar kaynaklardan; BALKAŞ et al. "Analysis of Crude Oils and Tar Balls" CIESM, Cagliari 1980 isimli makalede geniş olarak verilmiştir.

### III. BULGULAR VE TARTIŞILMASI:

Sekil 2. beş tipi ham petrolün, Gaz Kro./Kiitle Spek. Kromatogramlarını göstermektedir. Peru ve Venezuela kökenli petrollerin diğerlerinden ve birbirlerinden yapısal farklılıklarını açıklıkla görülebilmektedir. Diğer üç kromatogram, Ortadoğu ve Kuzey Afrika petrollerinin, n-parafin hidrokarbonlarının düzenli olarak sıralandığı, en tipik özellilikini taşımaktadır. Bu tipik yapı, Ortadoğu petrollerini, Güney Amerika ve Güney Afrika petrollerinden ayıran en temel özelliktir. Ancak, Kuzeydoğu Akdeniz'den toplanan bir katran yumrusunun kaynağını saptayabilmek, muhtemel kaynak olan Ortadoğu ve K.Afrika petrollerinin bu benzerlikleri nedeniyle biraz zorlaşmaktadır. Bunun yanında, her tip ham petrolün kendi ülkesinde de birçok isimler altında farklılıklar gösterdiği de düşünülsürse, sorunun biraz daha billyüdügü anlaşıılır.

Sekil 2'de gösterilen TIC (Toplam İyon Akımı) kromatogramları kılcal kolonlar kullanılarak elde edildiğinden örneklerin içerdiği ve birbirine geçmiş halde bulunan bileşenlerin daha belirgin bir şekilde ayrışmasını sağlarlar.



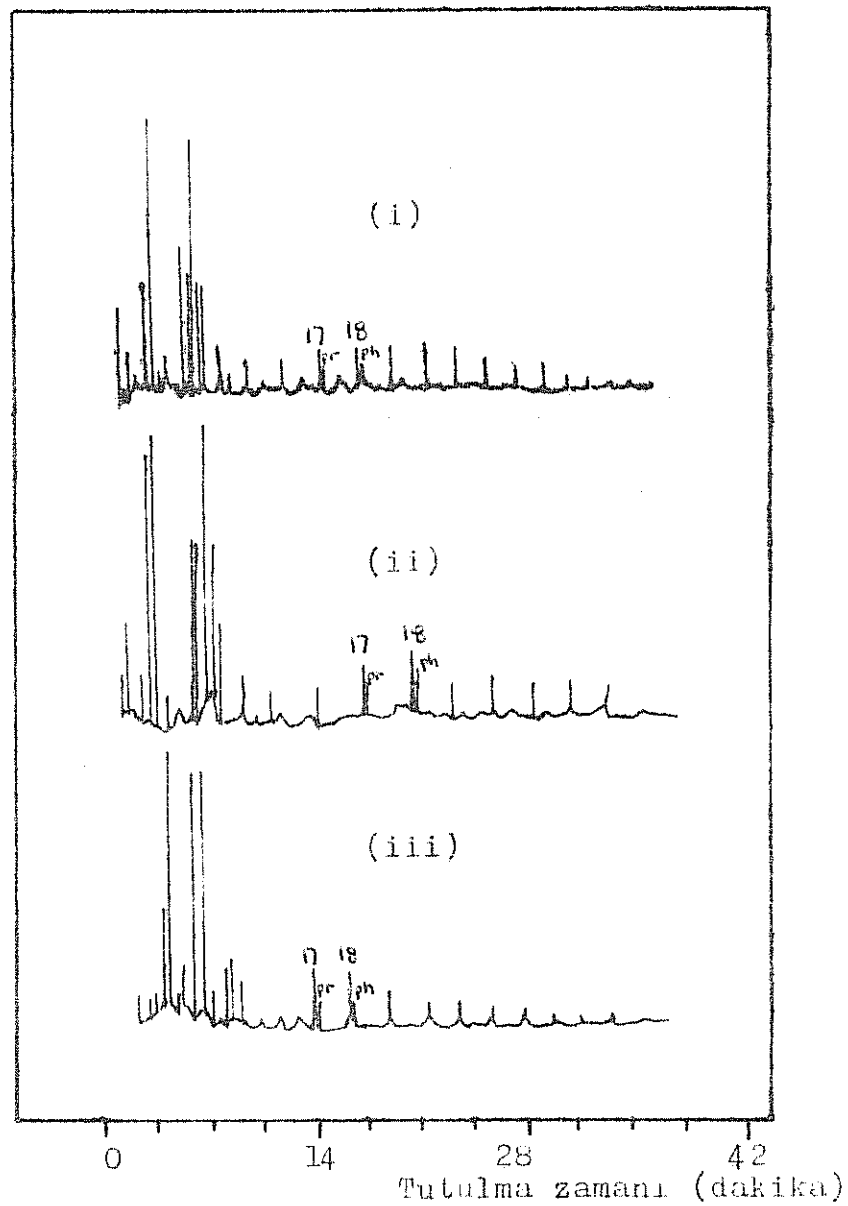
Sekil 2. Ham petrollerin 'Toplam İyon Akımı' (TIC) Kromatogramları.

(i) Venezuela, (ii) Peru, (iii) Kuveyt,  
(iv) İran, (v) Türk

pr : Pristane

ph : Phytane

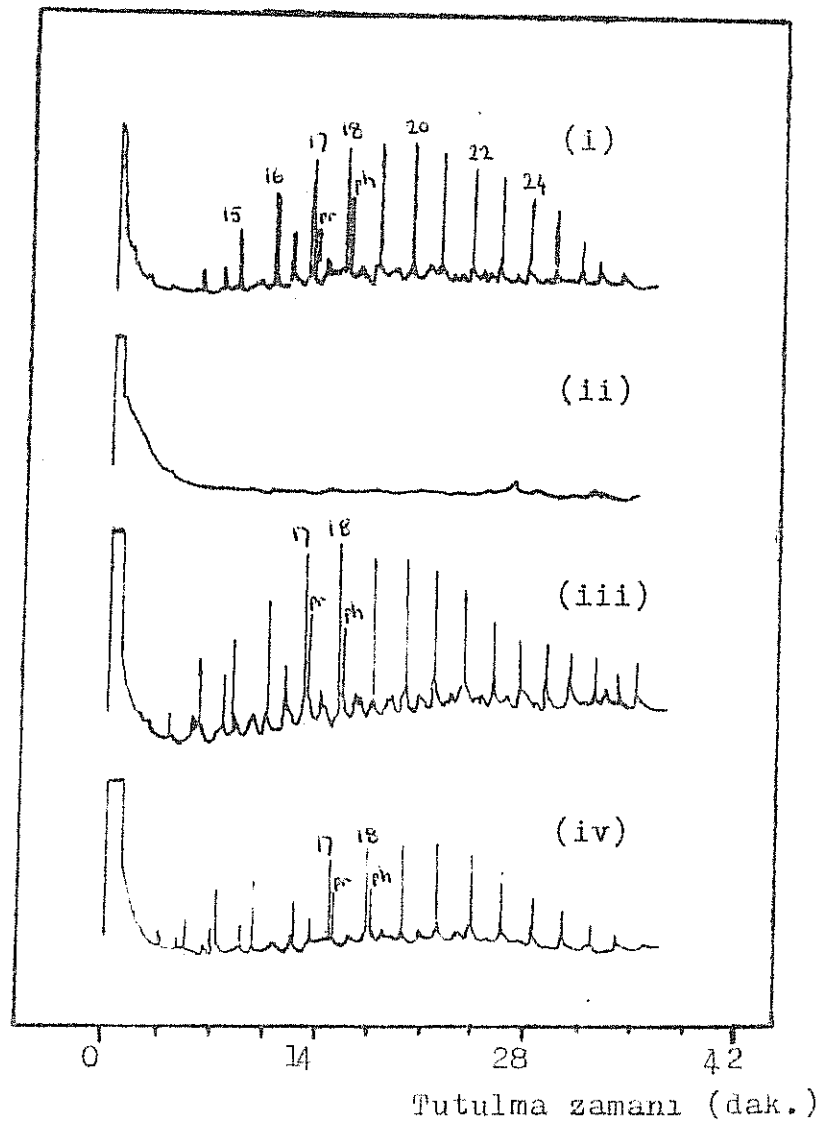
(Piklerin üzerindeki rakamlar hidrokarbon bileşenlerinin karbon sayısını göstermektedir.)



Sekil 3. Ham petrol tiplerinin  $m/e = 141$  fragmentogramları. (i) Kuveyt, (ii) İran, (iii) Türk

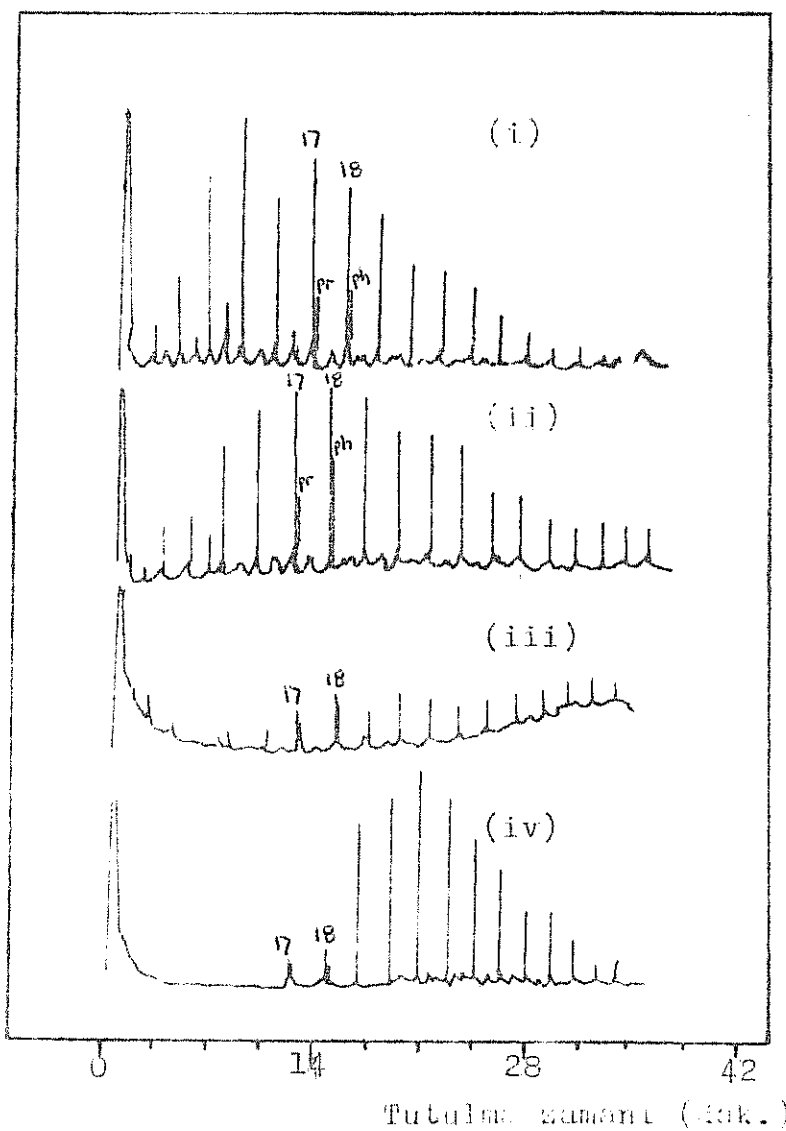
Buna en iyi örnek, belirtici olarak kullanılan isoprenoid hidrokarbonlardan Pristane ( $C_{19}H_{40}$ ) ve Phytane ( $C_{20}H_{42}$ )'nın üstüste gelerek çakışıkları  $n\text{-}C_{17}$  ve  $n\text{-}C_{18}$  parafinlerinden kolaylıkla ayırt edilebilmeleridir. Bu avantaj, ilerde bahsedeceğimiz diğer 'minor' bileşenler içinde geçerli olup, bileşenlerin öncelikle kromatogramlar üzerindeki yerlerinin saptanmasında hata olasılığını ortadan kaldırılmıştır. Bu 'minor' bileşenlerin tanımı ve karşılaştırılması için en temel yöntemlerden biri, bazı özel iyon fragmentogramlarını kullanmaktadır (ALBAIGES, J.,). İyon fragmentoları, belli bir kütle değerine sahip iyonların, TIC kromatogramları üzerindeki durumlarının belirlenmesi şeklinde elde edilirler. Şekil 3. Üç tip ham petrol için kütle değeri 141 olarak belirlenen iyon fragmentogramlarını göstermektedir. Bu iyonlar,  yapısına sahip alkilli naftalinler veya  $C_{10}H_{21}^+$  şeklindeki dallı veya halkalı parafinler tarafından verilmişlerdir. Aynı Şekil'deki fragmentogramlar, 141 kütle bileşenlerinin yanısıra,  $n$ -parafin serisini de küçük pikler olarak göstermektedir. Bu fragmentogramların içerdığı major piklerin diziliş ve büyüklükleri, ham petroller arasında bir ayırım yapabilme olanağı vermiştir.

Şekil 4-a ve 4-b, yedi katran yumrusunun TIC kromatogramlarını göstermektedir. Kromatogramlar, katran yumruları ve ham petroller için aynı deney şartlarında elde edilmişlerdir. Çizelge 1'de verilen  $n$ -parafin aralıkları, katran yumrularının denizde geçirdikleri süre hakkında ilk bilgiyi vermektedir. Genellikle yaz aylarında  $n\text{-}C_{12}$ 'ye kadar olan parafinlerin kaybolması 2 - 3 gün,  $n\text{-}C_{14}$ 'e kadar olanların 2 hafta ve  $n\text{-}C_{16}$ 'ya kadar olanların ise 2 - 3 ayı gerektirmektedir (SHEKEL ve DAVID, 1977).



Şekil 4a. Katran yumrularının 'Toplam İyon Akımı' (TIC) kromatogramları.

(i) S5, (ii) S6, (iii) S13,  
(iv) S4.



**Şekil 46.** Katran yumrularının 'Toplam Tüp Akımı' (TIC) kromatogramları.

(i) FLOAT, (ii) CAET, (iii) SKYT,  
(iv) CYF.

Şekil 4-a ve 4-b, SG (Tarsus) katranı dışında kalan diğerlerinin, hekzan fazlarının içeriği esas bileşenlerin n-parafinler olduğunu göstermektedir. Bu sonuca öncelikle Gaz Kromatografi yöntemi ile varılmış ve bulgular Gaz Kro./Kütte Spek. yöntemi ile de desteklenmiştir. Bütün katran yumrularının Ortadoğu kökenli petrollerden türediği de aynı bulgulardan elde edilen sonuçlar arasındadır. Feul oil, yağ ve mazot gibi rafine ürünü artıklarının oluşturduğu herhangi bir kaynak saptanmamıştır.

Parafinik yapıya sahip petrollerin birbirlerinden ayrılığında kullanılan diğer bir temel yöntem de, isoprenoid hidrokarbonlardan Pristane ( $C_{19}H_{40}$ ) ve Phytane ( $C_{20}H_{42}$ )'ın pik yükseklikleri veya alanlarının birbirlerine olan oranlarının her örnek için hesaplanması, karşılaştırılmalıdır. Çizelge 1. bu oranları özetlemektedir. Türk ham petrollü gösterdiği yüksek pristane/phytane oranı ile, İran ve Kuveyt petrollerinden kolaylıkla ayırmaktadır. Ancak sadece bu orana dayanan tanımlamalara fazla güvenmek doğru olmaz, çünkü Ortadoğu kökenli birçok ham petrol birbirlerine yakın oranlara sahip oldukları gibi, bu oran denizde petrolün geçirdiği değişim süresinin uzunluğuna göre de etkilenir. Analizi yapılan örnekler içinde, S6 (Tarsus) ve CYP (Kıbrıs) katran yumrularının yapısı, denizde buharlaşma ve çözünme gibi etkenlerden fazlaıyla etkilendikleri için bu örneklerin kaynaklarının tanımlanması için pristane/phytane oranının uygunmasına olanak bulunamamıştır.

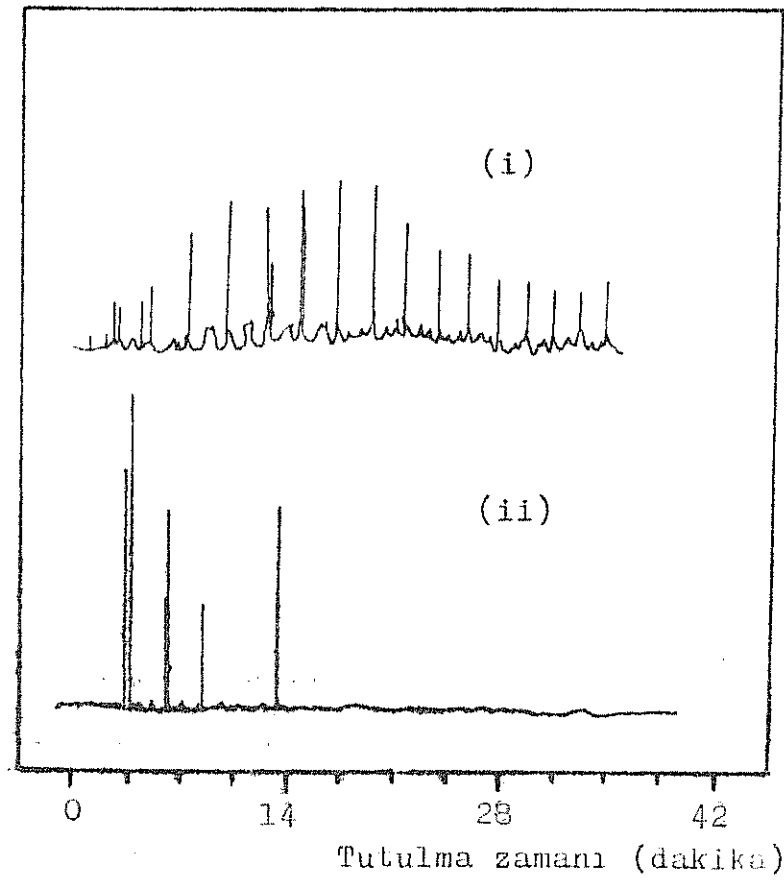
Bununla beraber aynı yöntem, SEYT (Seyhan) ve S4 (Tırtar) katran yumruları için güvenilir sonuçlar vermiştir.

Kütle Spektrometresi Ölçümleri:

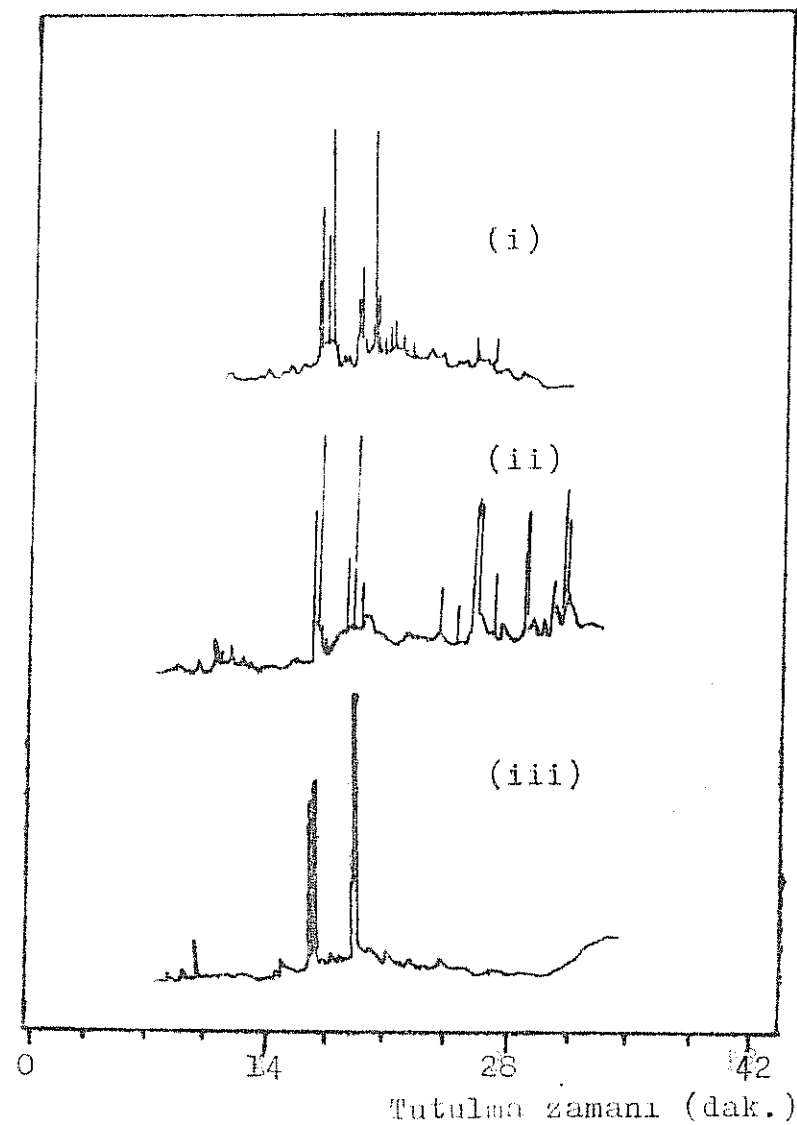
Şekil 5., katran yumruları için kütle değeri 141 olan ve Şekil 3'de ham petroller için verilen, iyonların fragmentogramlarını göstermektedir. Petrollerin fragmentogramlarında gözlenen alkilli naftalin bileşenlerine, büyük olasılıkla denizdeki değişim sırasında kaybolmaları nedeniyle katran yumrularında rastlanamamıştır.

Benzer yöntemlerle araştırmalar yapan ALBAIGES (1979)'in de belirttiği gibi, major n-parafin pikleri arasında kalan ve belirtici olarak kullanılabilcek minor bileşenler genellikle halkalı veya dallı parafinler olup, en önemlileri asiklik isoprenoidler ( $m/e$  183), hopane tipi terpenoidler ( $m/e$  191) ve steran'lardır ( $m/e$  217). Bu iyonların fragmentogramları, kaynak saptamaları için genellikle olumlu sonuçlar vermektedirler, çünkü bu bileşenler denizdeki değişimden fazla etkilenmeyen, kaynama noktaları yüksek bileşenlerdir.

Şekil 6'da kütle değeri 191 olan iyonların fragmentogramları gösterilmiştir. Bu kütle değeri 'hopane' tipi terpenoid hidrokarbonlar için karakteristik olduğu gibi, alkilli antrasenler ve fenantren'ler için de geçerlidir. Ham petrol fragmentogramları farklılık göstermekle birlikte, hepside genellikle 4 - 5 pik'ten oluşan bir grup gözlenmiştir. Bu piklerin yükseklik oranları, aynen pristane/phytane oranı gibi tanımlayıcı bir oran olarak kullanılmışlardır. Bu oranlar Cizelge 2'de özetlenmiştir. Kütle değeri 191 olan iyonların yer aldığı ve Gaz kromatogramlarda  $n\text{-C}_{19}$  ile  $n\text{-C}_{20}$  arasındaki bölgede, moleküller iyon değeri her iki tip örnekler için 206 olarak hesaplanmıştır.

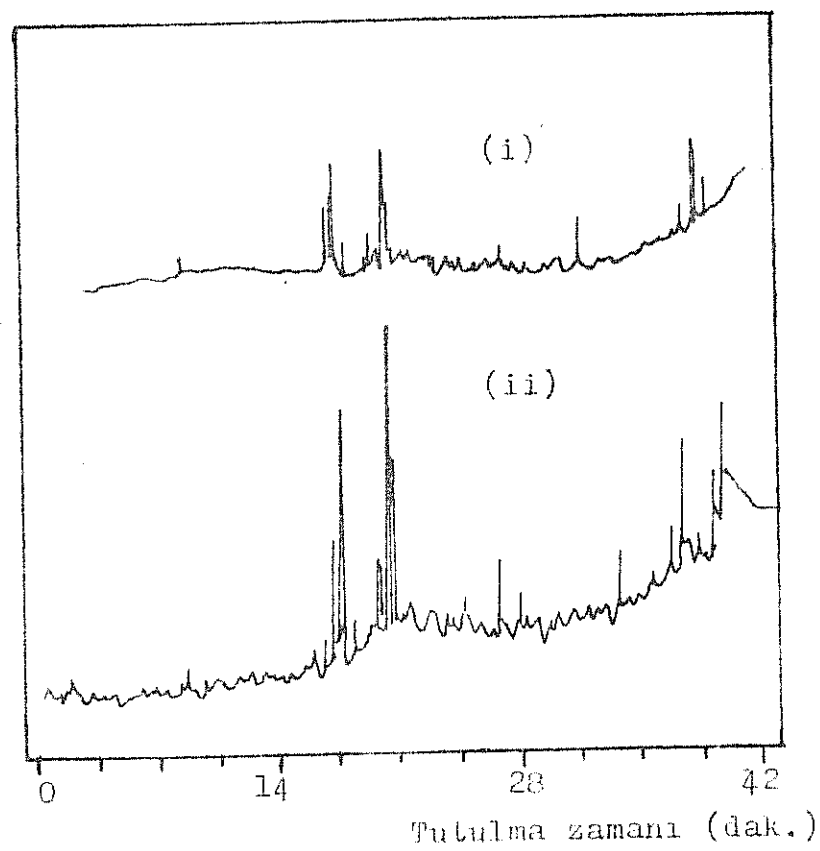


Şekil 5. Katran yumrularının  $m/e$  141 fragmentogramları.  
(i) CABT, S4, S13, (ii) FLOAT



Şekil 6a. Ham petrollerin  $m/e$  191 iyon fragmentogramları.

(i) İran, (ii) Kuveyt, (iii) Türk



Sekil 6b. Katran yumrularının  $m/e$  191 iyon fragmentogramları.

(i) CABT, (ii) S13

Cizelge 5. Gaz Kromatografi/Kütle Spektrometresi ölçimleri

ÖRNEK	$\frac{C_{14}-C_{15}}{C_{15}-C_{16}}$	$\frac{C_{15}-C_{16}}{C_{16}-C_{17}}$	$\frac{C_{16}-C_{17}}{C_{17}-C_{18}}$	$\frac{C_{17}-C_{18}}{C_{18}-C_{19}}$	$\frac{C_{18}-C_{19}}{C_{19}-C_{20}}$	m/e 191 <sup>x</sup>
S5	57,43,71,41 55,85,141,	--	43,57,41, 71,85,99, 127	57,43,41, 55,71,83, 82,111,97	55,83,82, 41,71,43, 69,111	55,83,82, 41,43,69, 206,191,189
S13	71,57,43, 41,85,55, 69,155	57,43,71, 41,55,69, 155	37,43,71, 41,55,85, 105	57,43,41, 55,71,69, 83,82,85, 97,111	43,83,41, 69,68,57, 105,82, 69,206, 191,189	83,55,82 41,43, 1.4/-/-
FLOAT	57,43,71, 41,85,55, 113	--	57,43,42, 56,71,69, 85,83, 85,99,113,	57,71,77, 41,85, 96,	43,71,69, 67,42, 56,85,97,	Tek büyük pik; m/e 191 fragment- teri içermiyor.
CABT	43,57,71,41, 55,85,97, 141	57,43,71, 41,55,85, 70,69,175,	57,43,71,41, 55,85,105, 133,165, 32,97,111, 175	57,43,71, 71,55,85, 69,112,192, 189,165,	57,43,71, 41,55,85, --	1.2/1.8/1.5
SEYT	71,57,43, 41,85,55, 69,155,	--	57,43,71, 41,85,99, 113	57,43,71, 41,55,55, 83,82, 111	206,191, 83,82,41, 55,43,67, 69	m/e 191 fragmentleri icermiyor.
TCOH	57,43,71,41, 55,85,141,	43,57,71, 35,70,69, 155	32,105,133, 69,83,41, 55,91, 97,111,	57,43,41, 55,74,69, 83,82,35, 191,189,	206,191, 89,32, 40,82,145	1.2/1.5/1.2
KCOH	57,43,71, 41,55,85,	57,43,71, 41,85,69, 155,175,	57,43,55, 41,85,55, 165,169, 82,97,111, 133	55,57, 41,43,82, 83,111, 179	40,32, 120,157, 191,189, 145	1.1/1.6/1.4
						1.0/1.4/1.4

(x) m/e 191 fragmentogramlarının içerdığı üç 'major' pik'in birbirlerine oranları

Kimyasal yapısı  $C_{15}H_{26}$  şeklinde ve 'bicylic' yapıya sahip bu bileşenlerin bulunum ve yerleşimlerinin her örnek için gösterdiği farklılıklar tanımlamalar sırasında kullandığımız önemli kriterlerin başında gelmektedir. Bu fark özellikle Türk ve İran ham petrolleri arasında çok belirgindir (Çizelge 2.). Kütle değeri 191 olan iyonlara n-C<sub>18</sub> ile n-C<sub>19</sub> parafin pikleri arasındaki 'minor' bileşenlerin içinde de rastlanmıştır. Bu bileşenlerin moleküller iyon değeri 192 ve kimyasal yapıları C<sub>14</sub>H<sub>24</sub> şeklinde olup, fragmentogramlarında C<sub>6</sub>H<sub>13</sub><sup>+</sup> fragmentleri tekrarlanan birimler şeklindedir. Bu fragmentogramlar kullanılarak, aynı tutulma zamanı ve kütle değerine sahip ve/fakat farklı kimyasal yapıya sahip bileşenleri tanımlama olanağı elde edilmiştir.

Kütle değerleri gözönüne alınmaksızın, n-C<sub>14</sub>, n-C<sub>15</sub>, n-C<sub>16</sub>, n-C<sub>17</sub>, n-C<sub>18</sub>, n-C<sub>19</sub> parafin bileşenleri arasında kalan diğer 'minor' pikler de belirtici hidrokarbonlar olarak kullanılmış, Çizelge 2'de özetlenen spektral özellikler incelenerek, örnekler arasındaki farklılık ve benzerlikler ortaya çıkarılmıştır.

#### Sonuçlar:

Kuzeydoğu Akdeniz bölgesinin çeşitli yörelerinden toplanan katran yumrularının kaynak ham petrollerini saptamak amacıyla yürütülen bu çalışmada, öncelikle Gaz Kromatografi/Kütle Spektrometresi uygulaması geliştirilmiş ve bu yöntemle elde edilen bulguların güvenilirliği diğer yöntemlerle karşılaştırmak suretiyle arttırlılmıştır.

Bütün örneklerin, içerdikleri hidrokarbon bileşenlerinin kıyasal yapılarını tek tek tanımlamak yerine, her örnek kromatogramında aynı tutulma zamanına sahip, belirtici olarak nitelendirilen hidrokarbonların spektrumlarında m/e 191 ve 141 değerine sahip iyonların fragmentogramları ve yine kütle spektrumlarındaki fragmentlerin tip ve yoğunluklarına göre farklılıklar gösteren genel durumları karşılaştırılmıştır. Bulgular bölümünde, Şekil ve Çizelgeler yardımıyla ayrıntılı olarak incelenen bu özelliklerin verdiği sonuçlar şöyle özetlenebilir:

- (i) Bütün katran örnekleri Ortadoğu kökenli ham petrollerin artıkları olup, fuel-oil, mazot gibi rafine ürünlerinin kalıntılarına rastlanmamıştır. Bu sonuç bölgedeki katran kirlenmesinin rafineri veya sanayi artıklarından ziyade petrol taşıyan tankerlerden kaynaklandığını göstermektedirler. Önceki çalışmalarımızda, Atomik Absorption Spektrofotometresi yöntemi ile bulduğumuz yüksek Fe konsantrasyonu bulguları da bu sonucu desteklemektedir, bilindiği gibi demir, tankların temel yapım maddesidir.
- (ii) Herne kadar IR, H-nmr, Gaz Kromatografi ve Floresans Spektrofotometresi teknikleri bir arada kaynak saptamaları için olumlu sonuçlar veriyorsa da, daha fazla örneğe uygulanarak geliştirilecek Gaz Kromatografi/Kütle Spektrometresi tekniği tek başına da bir tanımlama yöntemi olarak kullanılabilir.
- (iii) Bu çalışmada Gaz Kromatografi/Kütle Spektrometresi bulguları esas olarak alınmakla birlikte, diğer yöntemlerle elde edilen değerler de gözönüne alınmış, bunun sonucu olarak bazı hallerde katran yumrularının birden fazla ham petrolden kaynaklanabileceği görülmüştür. Böyle durumlarda kesin bir yargıya varabilmek için, ham petrolleri birbirlerinden ayırcı, belirtici parametrelerin arttırılması gereklidir.

Bütün bulguların değerlendirilmesi, katran yumrularının kaynaklarını söyle belirlemiştir:

- CABT (Kampus plajı): Gaz Kro./Kütle Spek. ölçümleri, kaynağın Türk ham petrolü olabileceğini göstermektedir, ancak Gaz Kromatografi ve Floresans Spektrometresi ölçümleri, Kuveyt ham petrolü olasılığını vermiştir.
- S5 (Ataş): Gaz Kro./Kütle Spek. ölçümleri kaynağın İran ham petrolü olduğunu göstermekte, Gaz Kromatografi bulguları da bu sonucu desteklemektedir. Floresans ölçümleri sadece emisyon dalga boyu değeri ile bu sonucu desteklemektedir.
- S6 (Tarsus): Denizde en fazla değişim ugrayan örnek. Gaz Kromatografi sadece üç küçük pik içeriyor. Gaz Kro./Kütle Spek., IR ve Gaz Kromatografi tanımlamaları olanaksız. H-nmr ölçümleri Türk ve Irak petrollerine uyuyor.
- CYP (Kıbrıs, Girne): Denizdeki değişim fazla. Gaz Kromatografi ve IR kaynağı Irak ham petrolü, Floresans ise Kuveyt ham petrolü olarak gösteriyor. Gaz Kro./Kütle Spek. ve H-nmr yöntemleri uygulanmadı.
- SEYT (Seyhan): Gaz Kro./Kütle Spek. ve IR Spektrometresi ölçümleri kaynağı Türk ham petrolü olarak belirledi.
- PLOAT (Kampus açığı): Gaz Kromatografi ölçümelerine göre kaynağı Irak, Gaz Kro./Kütle Spek. ölçümelerine göre ise Türk ham petrolü.
- S9 (Girne): IR ve Gaz Kro. ölçümelerine göre Kuveyt ham petrolünden kaynaklandı, Gaz Kro./Kütle Spek. yöntemi uygulanmadı.

S13 (Seyhan, dip): Gaz Kro./Kütle Spek. ölçümlerine göre, Türk veya İran ham petrolünden kaynaklandı.

Malta : Gaz Kromatografi ölçümlerine göre İran, Floresans ölçümlerine göre ise Kuveyt ham petrolü kaynaklı. Gaz Kro./Kütle Spektrometresi yöntemi uygulanamadı.

Bu çalışmada elde edilen sonuçlar, katran yumrularının büyük bir çoğunluğunun Türk ham petrolünden kaynaklanmış olabileceğini göstermiştir. Büyük olasılıkla tankerlerle İskenderun - Mersin Ataş rafinerisi arasında taşınan Türk ham petrolü yörede görülen katran yumrularının önemli kaynaklarından biridir. Irak ham petrolü için Gaz Kro./Kütle Spek. yöntemi uygulanamamış fakat diğer yöntemlerle elde edilen bulgular boru hattından yükleme yapan tankerlerin de yöredeki kirlenmenin nedenlerinden olduğunu belirlemiştir.

Bu çalışmada elde edilen Gaz Kro./Kütle Spektrumlarındaki hidrokarbon bileşenlerinin tek tek tanımlanması, petrolün denizde geçirdiği süre içinde oluşan bozunma ürünlerinin tesbitine ve bu değişimlerin kimyasal açıklamalarına yarayacaktır.

KAYNAKLAR :

- ADLARD, E.R., GREASER, L.F., MATTHEWS, P.D., "Identification of Hydrocarbon Pollutants on Seas and Beaches by Gas Chromatography" Anal. Chem. 44, p. 64 - 73, (1972).
- ALBAIGES, J., ALBRECHT, P., "Fingerprinting Marine Pollutant Hydrocarbons by computerized GC/MS". Intern. J. Environ. Anal. 14, 1230 - 1234, (1980).
- ANDERSON, C.P., KILLEEN, T.J., BENTZ, A., "Improved Identification of spilled oils by IR Spectroscopy". Env. Science and Techn. 14, 1230 - 1234, (1980).
- BALKAŞ, T.İ., SALİHOĞLU, İ., GAINES, A.F., SUNAY, M., YILMAZ, A., "Analysis of Crude Oils and Tar Balls", <sup>ves</sup> Journees Etud Pollutions, 25 - 32, Caqliari, CIESM, (1980).
- BALKAŞ, T.İ., SALİHOĞLU, İ., GAINES, A.F., SUNAY, M., "Characterization of Floating and Sinking Tar Balls in the Marine Environment" to be published.
- ERHARDT, M., BLUMER, W., "The Source Identification of Marine Hydrocarbons by GC". Environ. Pollut. 3, 179 - 194, (1972).
- FRANK, U., STAINKEN, D., GRUENFELD, M., "Methods for the Source Identification and Quantification of Oil Pollution" Oil Spill Conf. Proceedings; Sensing, Monitoring and Enforcement, 1979, USA, 323 - 331.

- CARZA, M.E., MUTH, J., "Characterization of Crude, Semirefined and Refined Oils by Gas Liquid Chromatography" Env. Science and Techn. 8, 249 - 255, (1974).
- GORDON, D.C., KEIZER, P.D., "Estimates using Fluorescence Spectroscopy of the Present state of Petroleum Hydrocarbon contamination in the water column of the Northwest Atlantic Ocean" Marine Chem. 2, 251 - 261, (1974).
- JELTES, R., "Gas Chromatographic determination of Mineral Oil in water" Water Research 3, 931 - 941, (1969).
- JELTES, R. and TONKELAAR, A.M., "Gas Chromatography versus IR Spectrometry for determination of Mineral Oil Dissolved in water" Water Research 6, 271 - 278, (1972).
- KAWAHARA, F.K., "Characterization and Identification of Spilled Residual Fuel Oils by GC and IR" J. of Chromatographic Science 10, 629 - 636, (1972).
- KAWAHARA, F.K., "Identification and Differentiation of Heavy Residual oil and Asphalt Pollutants in Surface Waters by comparative ratios of IR absorbances" Env. Science and Techn. 3, 150 - 153, (1969).
- KEIZER, P.D., GORDON, D.C., Jr., "Detection of Trace Amounts of Oil in Seawater by Fluorescence Spectroscopy" J. Fisheries Research Board of Canada, 30, 1039 - 1046, (1973).

- PETROLEUM MEETING: Petroleum Industry and the Environment. Seminars, Papers and Documents, vol. 1, p.96, (1977), Paris.
- ROBINSON, C.J., COOK, G.L., "Low Resolution Mass Spectrometric Determination of Aromatic Fractions of Petroleum" *Anal. Chem.* 41, 1548 - 1555, (1969).
- SHEKEL, Y., DAVID, R., "Sources of Tar Pollution on Israeli Mediterranean Coasts" *Env. Science and Techn.* 11, 502 - 505, (1977).
- ZAFIRIOU, O.C., MYERS, J., "Oil Spill-Source correlation by Gas Chromatography: An experimental evaluation of system performance". Proceedings of the Joint Conference on Prevention and Control of Oil Spills ; March 13 - 15, (1973). Ame. Petr. Inst., Wash. D.C., p. 153 - 159.
- ZAFIRIOU, O.C., "Improved Method for Characterizing Environmental Hydrocarbons by Gas Chromatography" *Anal. Chem.* 45, 952 - 956, (1973).
- ZSOLNAY, A., "Hydrocarbons in the Mediterranean Sea" *Marine Chem.* 7, 343 - 352, (1979).